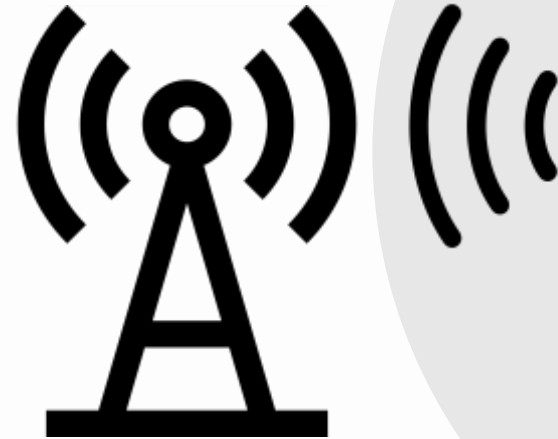


# Capture d'énergie électromagnétique

Réalisé par : MOHAMMED SAFARI

Encadré par : MR FAKCHICH MIMOUN



# Plan d'étude

01

## Introduction

Présentation du contexte et des objectifs de l'étude

02

## Capture d'énergie

Description du principe et du circuit utilisé

03

## Choix des constituants

Sélection des composants adaptés

04

## Simulation du circuit

Modélisation du circuit et analyse de son comportement

05

## Polarisation et impédance

L'impact de l'orientation des antennes et de l'appariement des impédances

06

## Conclusion

Synthese des résultats et perspectives sur l'exploitation de l'énergie

01

# Introduction



• **Ondes RF :**

ondes électromagnétiques dont les fréquences sont comprises entre 3kHz et 300GHz

**Maxwell-Faraday :**  $\nabla \times \vec{E} = -\frac{\partial \vec{B}}{\partial t}$

**Maxwell-Ampère :**  $\nabla \times \vec{B} = \mu_0 \epsilon_0 \frac{\partial \vec{E}}{\partial t}$

**L'équation d'onde:**  $\nabla^2 \vec{E} = \mu \epsilon \frac{\partial^2 \vec{E}}{\partial t^2}$

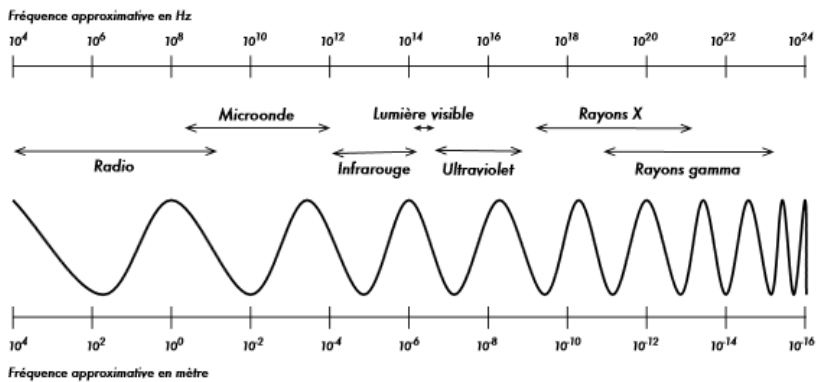


Figure 1: spectre des ondes électromagnétiques

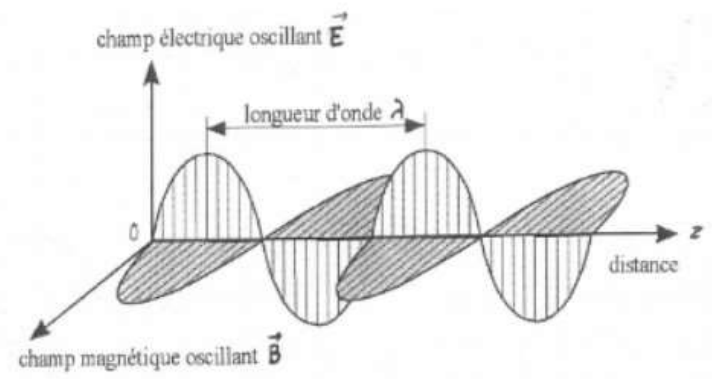
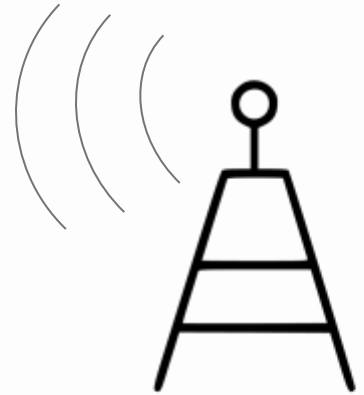
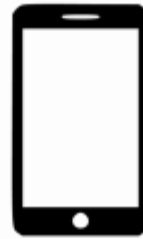


Figure 2: Représentation schématique d'une onde électromagnétique

# Abondance énergétique des ondes électromagnétiques

Puissance reçue par une antenne réceptrice est donnée par la formule de Friis :

$$P_r = P_t \cdot G_t \cdot G_r \cdot \left( \frac{\lambda}{4\pi d} \right)^2$$



## Ordres des grandeurs :

Constante	Réseau 4G	Réseau 5G
Puissance Pt	40 W	30 W
Gain Gt	40	100
Gain Gr	1	1
Fréquence	800MHz	3.5GHz

Figure 3: tableau des constantes prises pour la simulation

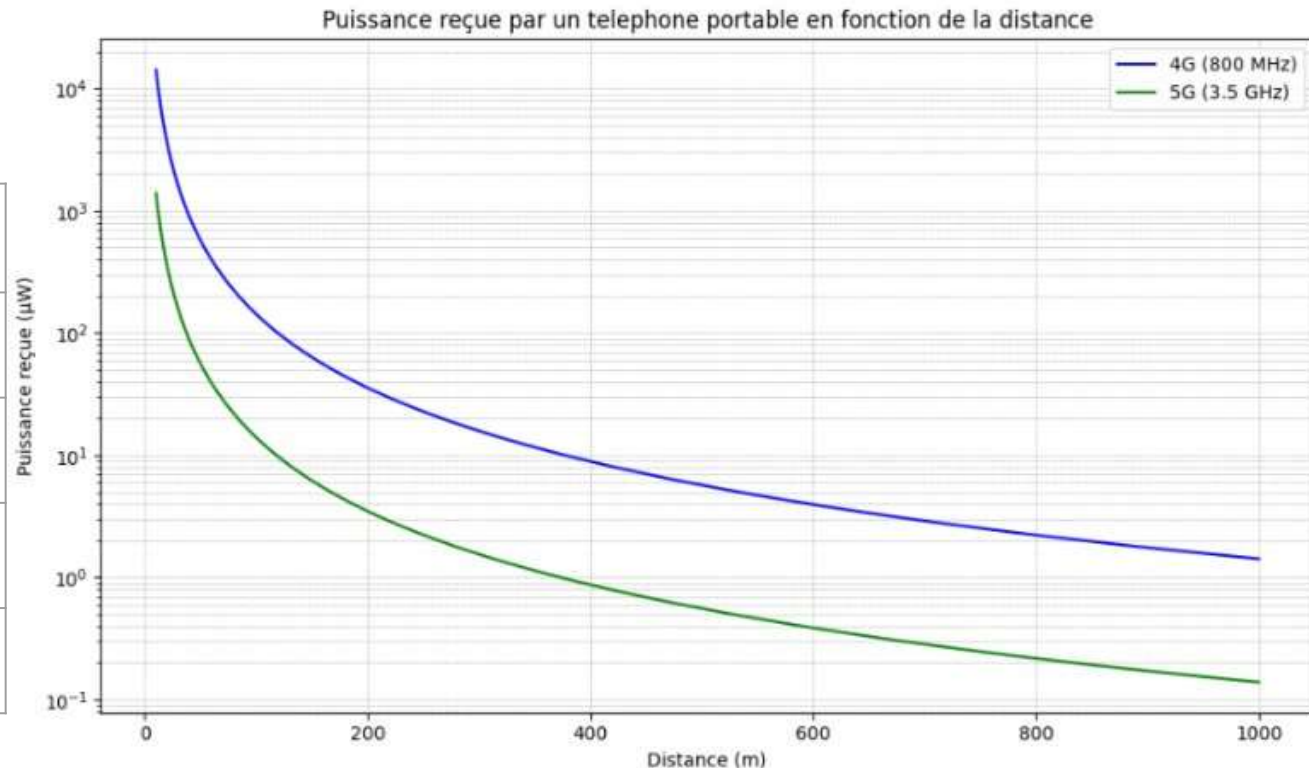
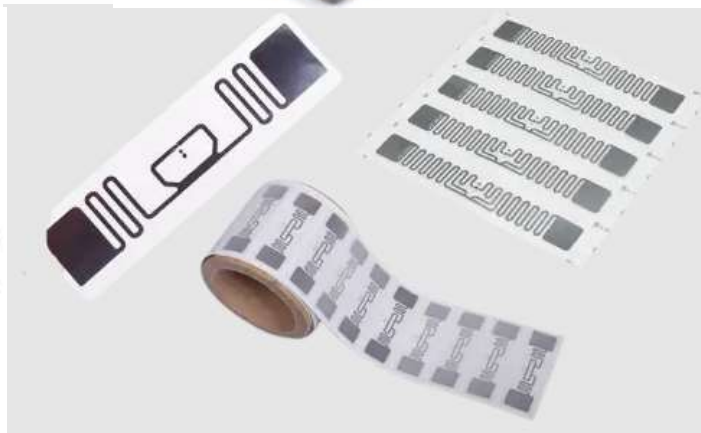


Figure 4: simulation de la puissance reçue par un téléphone portable

## Technologies quasi-autonomes en énergie :

Certains appareils fonctionnent avec une très faible consommation comme:

- Capteur de qualité de l'air
- Etiquettes RFID passives
- Microcontrôleurs



# Avantages de l'énergie ambiante RF

- **Energie gratuite et omniprésente**

L'environnement urbain est saturé des ondes électromagnétiques

- **Autonomie énergétique**

Fonctionnement sans sources d'énergie embarquées pendant de longues durées

- **Maintenance réduite**

Parfaits pour les environnements difficiles d'accès ou pour les capteurs déployés à long terme

# Problématique

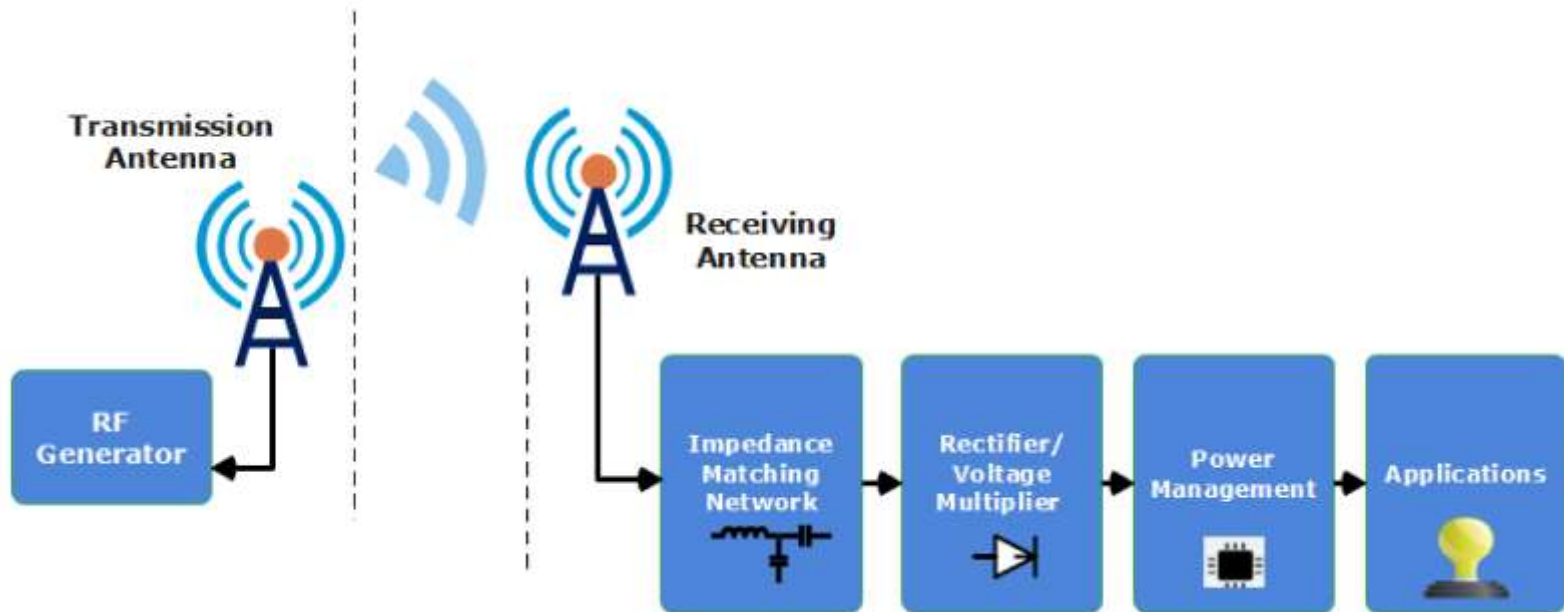
Comment récupérer l'énergie des ondes électromagnétiques et comprendre le rôle des circuits pompes à charges ainsi que l'effet de l'impédance et la polarisation des antennes

02

# Capture d'énergie



## Le processus de capture de l'énergie électromagnétique



## Facteurs influençant le capture de l'énergie électromagnétique par une antenne

```
graph TD; A[Facteurs influençant le capture de l'énergie électromagnétique par une antenne] --> B[Taille de l'antenne]; A --> C[Impédance de l'entrée]; A --> D[Orientation de l'antenne];
```

### Taille de l'antenne

La taille de l'antenne doit être multiple de la demi-longueur d'onde visée

### Impédance de l'entrée

Elle doit être égale à celle du circuit de charge

### Orientation de l'antenne

Elle doit être orientée dans la même direction que la polarisation de l'onde

# Pompe à charge Dickson :

La pompe à charge Dickson permet de redresser la tension alternative reçue par l'antenne réceptrice en une tension quasi-continue, ainsi que de la multiplier en fonction de nombre des étages

$$V_{out} = N (V_{in\_max} - V_d)$$

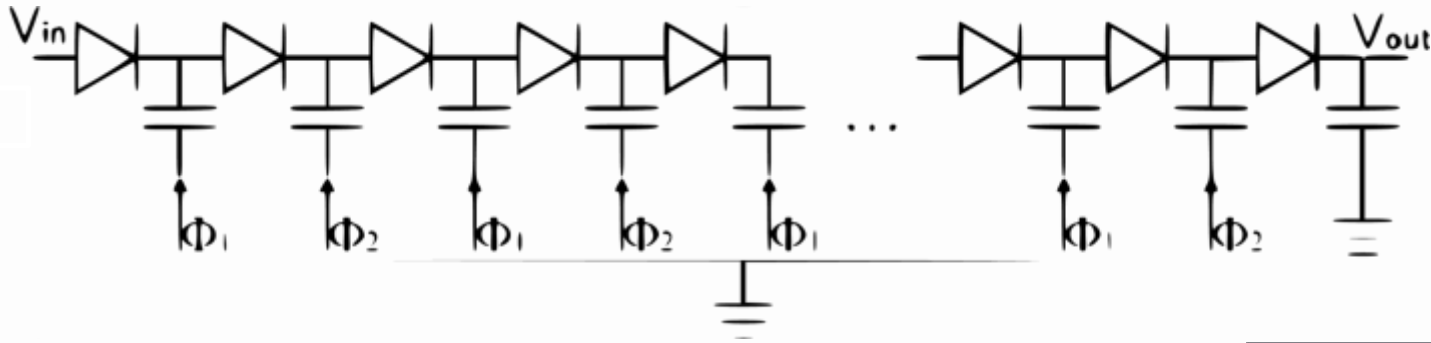
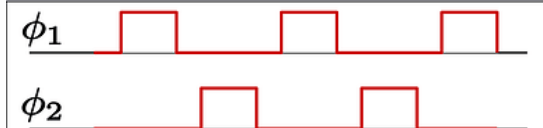


Figure 5: schéma d'une Pompe à charge Dickson à  $N$  étages



# Pompe à charge Dickson

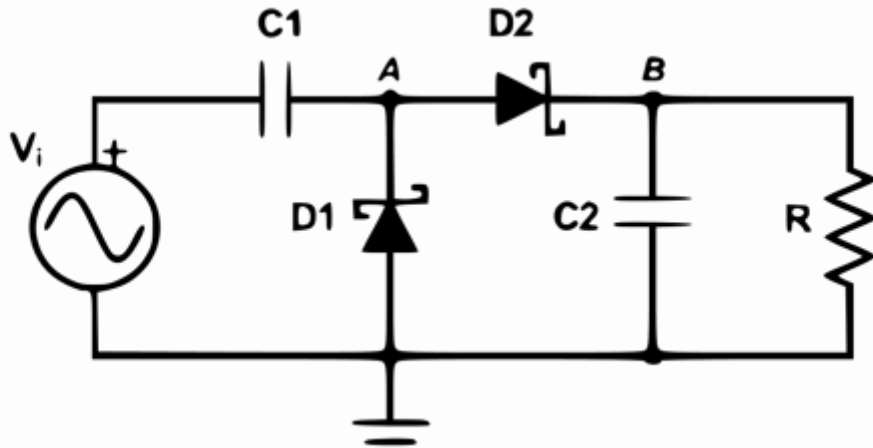


Figure 6: schéma d'une Pompe à charge Dickson simple (circuit de Greinacher)

Le circuit de Greinacher est une forme simplifiée de pompe à charge Dickson qui transforme une tension alternative (AC) en une tension continue (DC) de valeur environ doublée par rapport à l'amplitude d'entrée.

$$V_{out} = 2 (V_{in\_max} - V_d)$$

03

# Choix des constituants



# Comparaison entre les types des diodes

• Une diode est caractérisée par une tension de seuil et un temps de commutation

01

## Diode idéale

Temps de commutation nul

**Vd = 0V**

Transmet tout le demi-signal positif sans pertes

02

## Diode de Schottky

Temps de commutation faible (1-10ns)

**Vd = 0.2V**

Pertes minimales, ne laisse passer que la partie du signal > 0.2V

03

## Diode standard

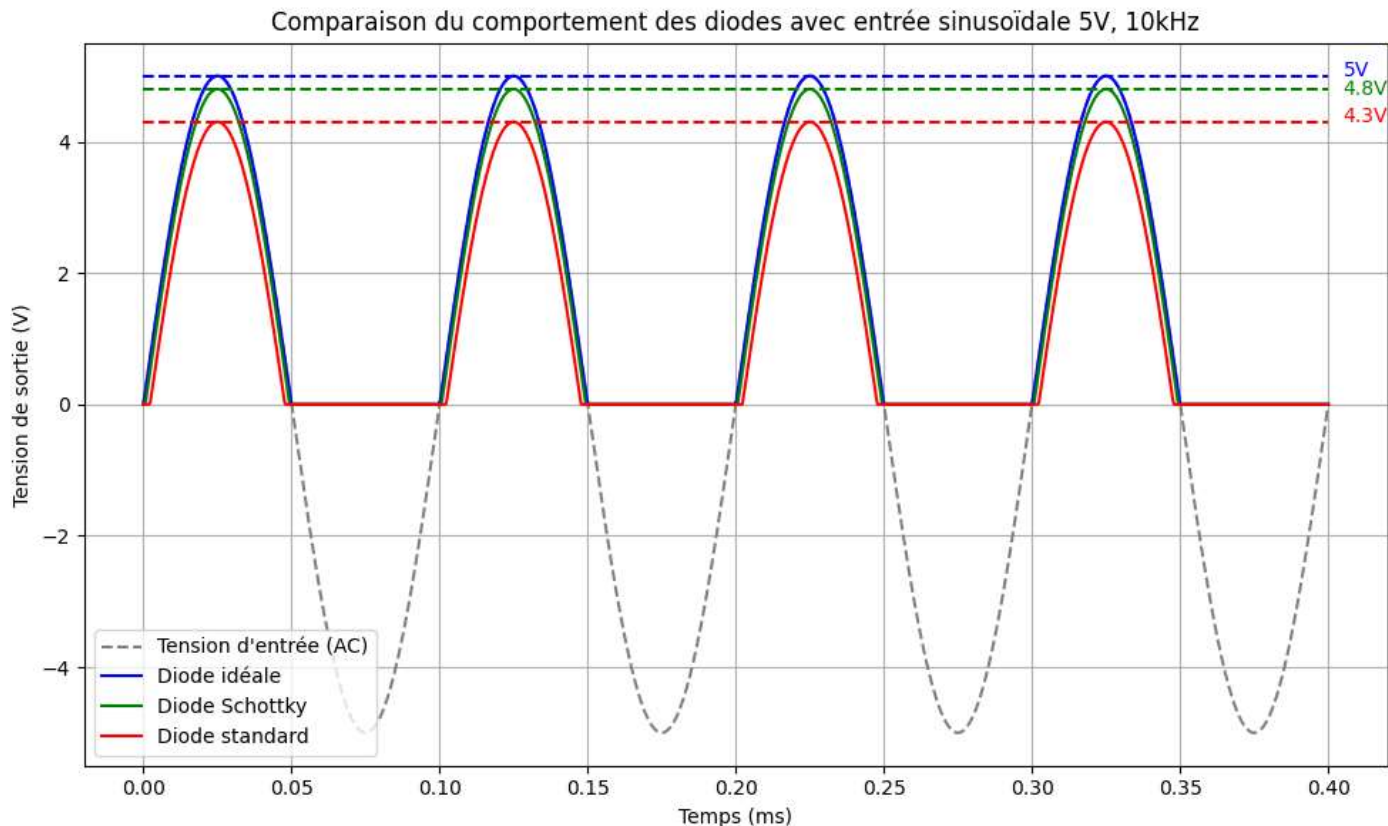
Temps de commutation nul (2-5 $\mu$ s)

**Vd = 0.7V**

Pertes importantes, ne laisse passer que la partie du signal > 0.7V

Type de diode	Tension de seuil $V_d$
Diode idéale	0
Diode Schottky	0.2
Diode standard	0.7

**Figure 6: tableau comparatif des types de diodes**



**Figure 7: simulation de comportement des diodes**

# L'effet de la capacitance des condensateurs dans un circuit de garnacher

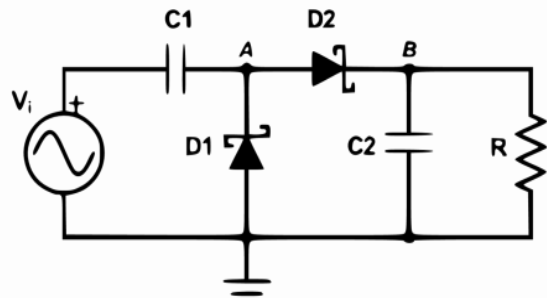
Capacité	Stabilité	Temps de montée
Faible (nF)	Peu stable	Rapide
Moyenne ( $\mu$ F)	Plus stable	Plus lent

**Figure 8: tableau comparatif des capacités**

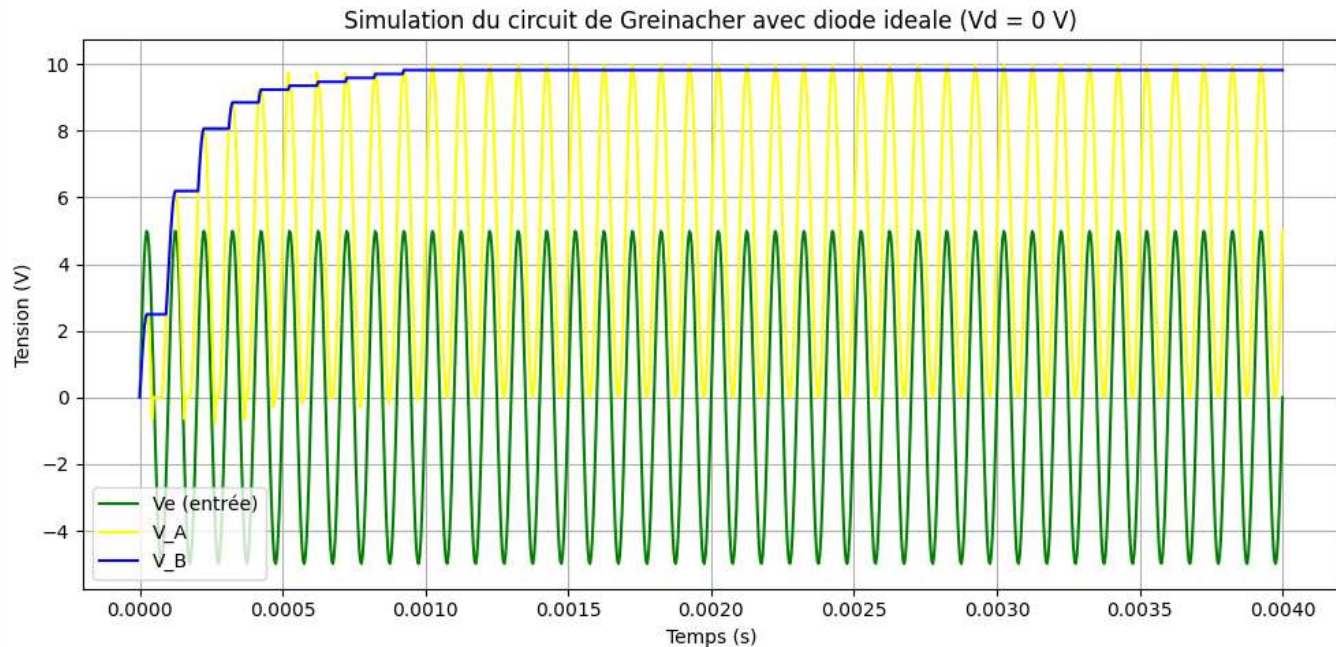
04

# Simulation du circuit





**Figure 9: circuit de Greinacher**



**Figure 10 : la réponse du circuit de Greinacher a un signal d'entrée d'amplitude 5V et de fréquence 10KHz pour des diodes ideales**

## La réponse du circuit de Greinacher a un signal d'entrée d'amplitude 5V et de fréquence 10KHz

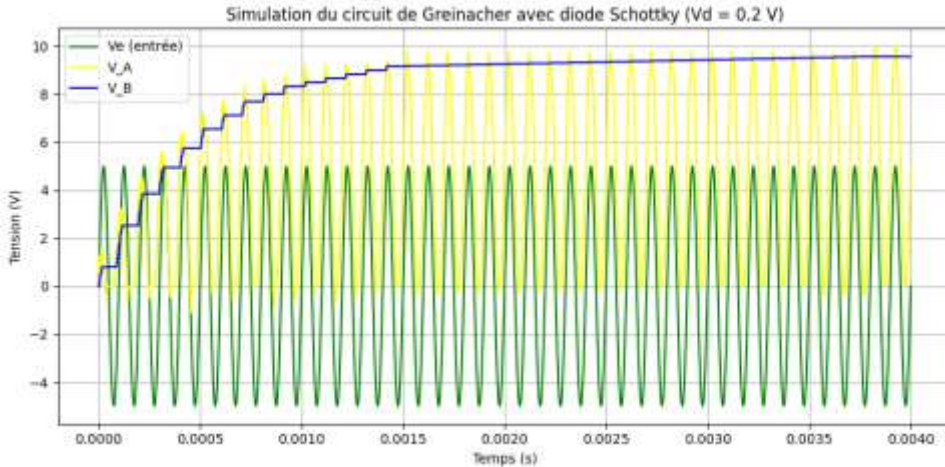


Figure 11: en utilisant des diodes Schottky  
 $V_B = 9.6\text{V}$

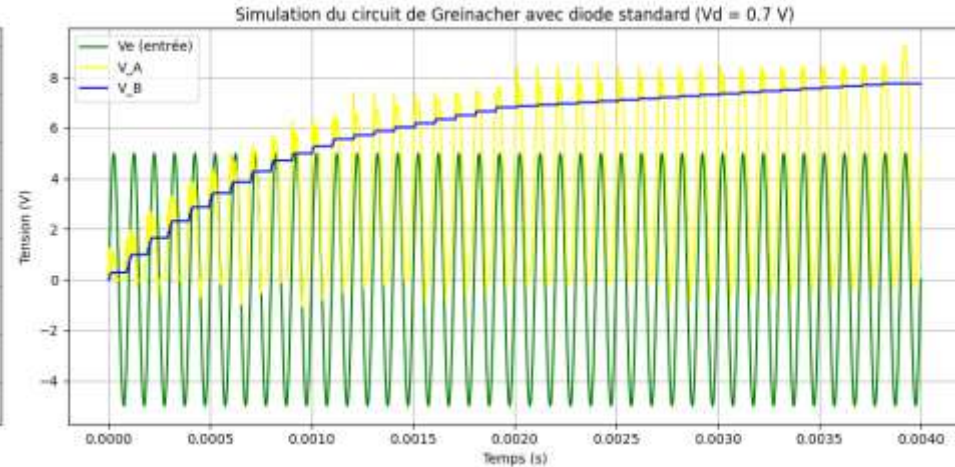
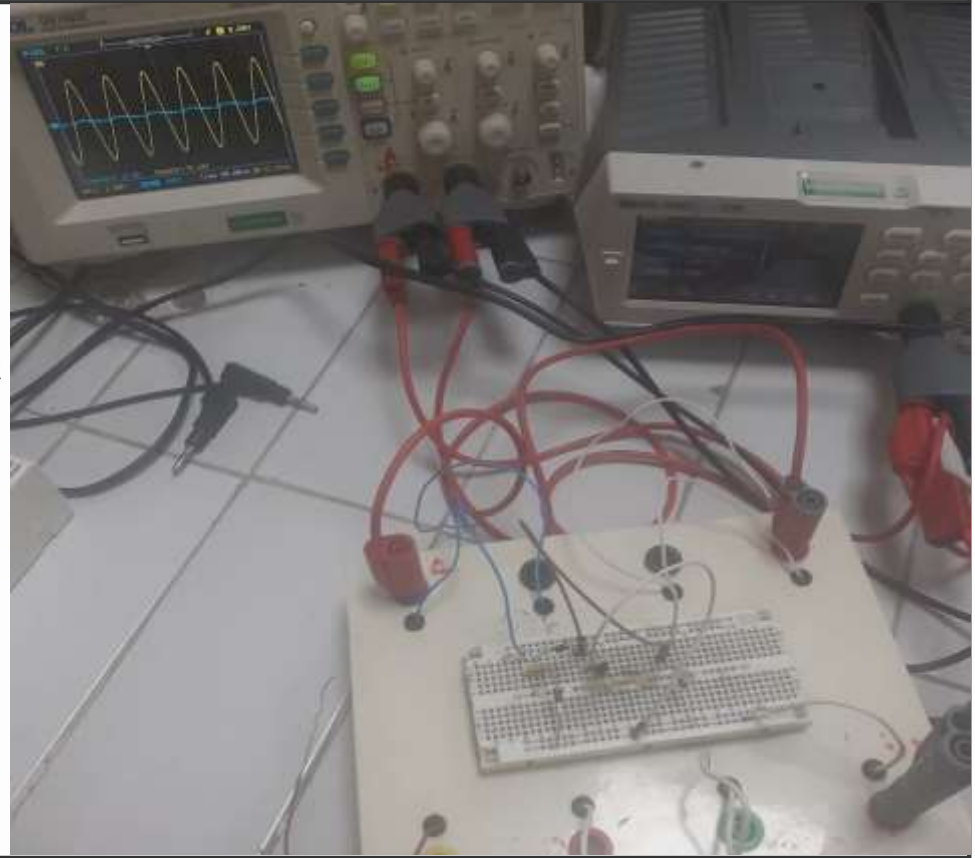


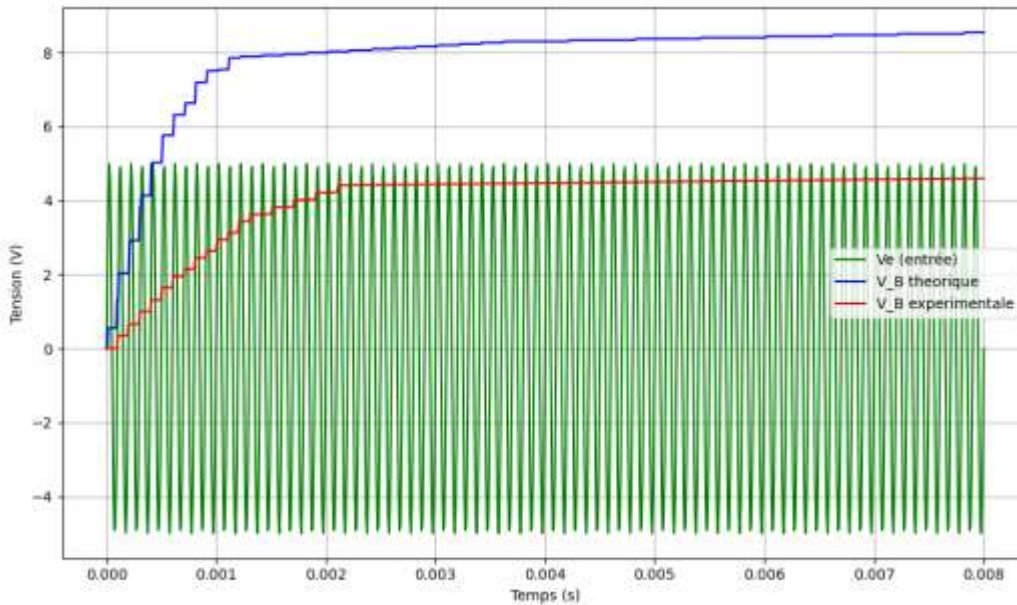
Figure 12: en utilisant des diodes standards  
 $V_B = 8.6\text{V}$

**Resultat experimental de circuit  
de Greinacher soumis sous un  
signal AC d'amplitude 5V et de  
frequence 10KHz**



**Valeur mesurée de tension de sortie : 4.5V**

**Valeur théorique de tension de sortie : 8.6V**



**Figure 13: comparaison de la réponse du circuit de Greinacher expérimentale et théorique**

05

# Polarisation et impédance



## Polarisation

La forme de l'antenne émettrice détermine la polarisation de l'onde EM : linéaire ou elliptique;

Son orientation impose la direction du champ électrique de l'onde qu'elle génère

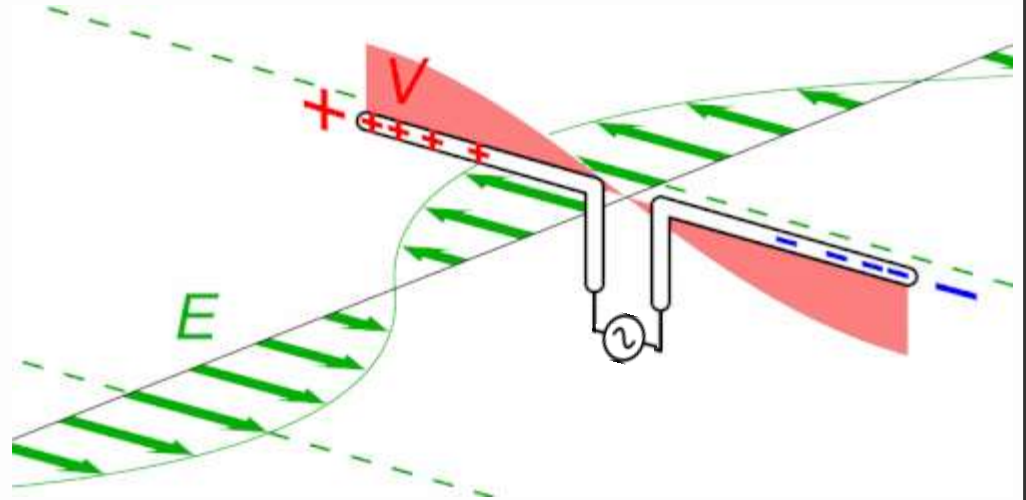



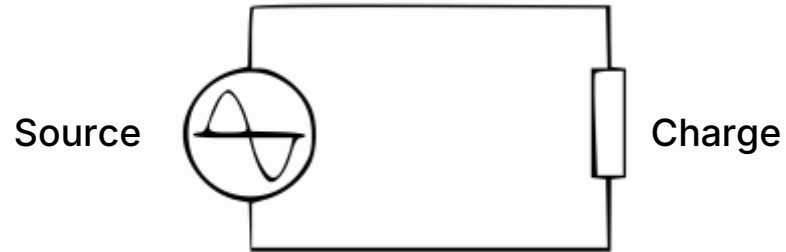


Figure 14: schéma d'une antenne dipôle demi-onde émettant une onde radio

	<p>Réception maximale <math>V_r = V_e</math></p>
	<p>Tension captée proportionnelle au cosinus de l'angle <math>V_r \propto \cos \alpha</math></p>
	<p>Rien n'est capté <math>V_r = 0</math></p>

**Figure 15: tableau qui montre l'influence de l'orientation de l'antenne réceptrice par rapport à l'antenne émettrice sur la réception du signal**

# L'appariement d'impédance

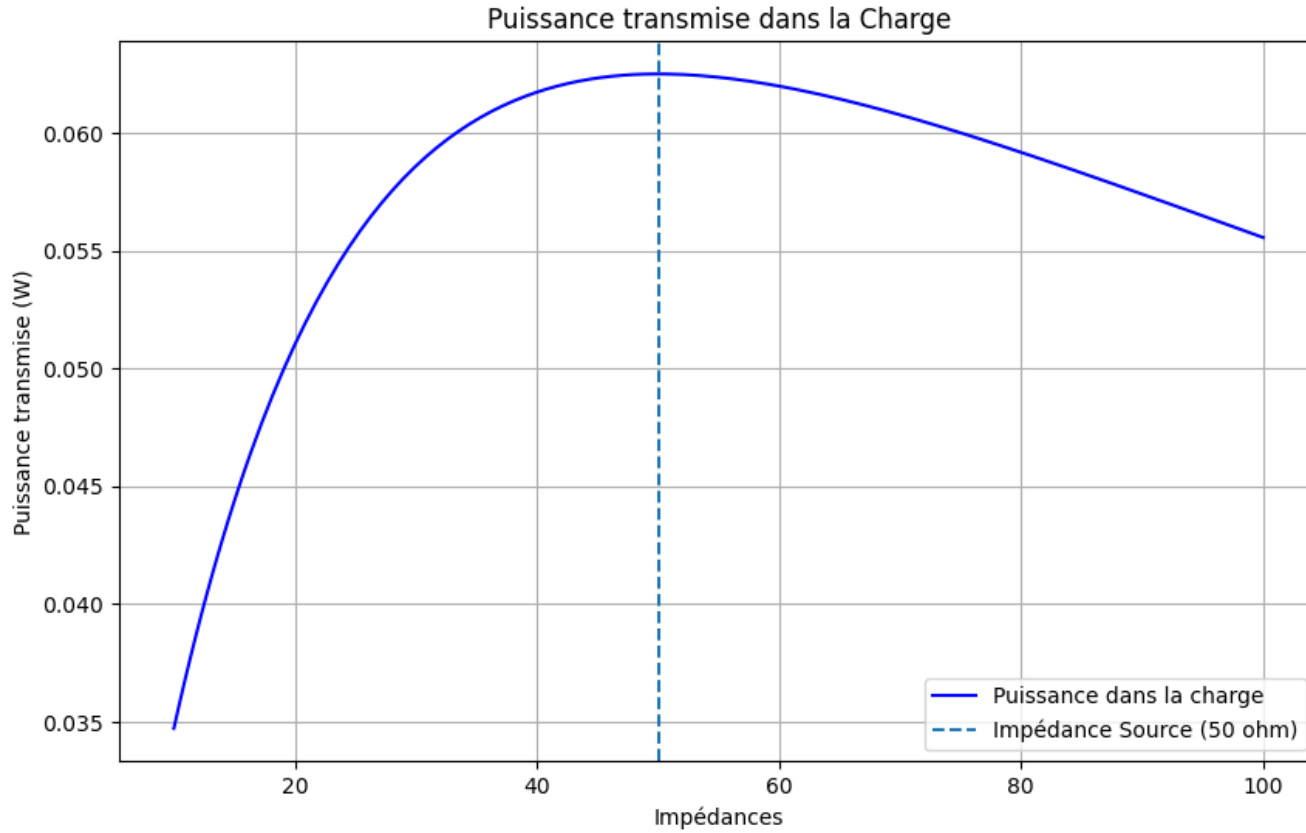


Formule du coefficient de réflexion :

$$\Gamma = \frac{Z_{\text{charge}} - Z_{\text{source}}}{Z_{\text{charge}} + Z_{\text{source}}}$$

Formule de la puissance transmise :

$$P = P_{\text{max}} \cdot (1 - |\Gamma|^2)$$



**Figure 16: simulation de la puissance transmise à la charge en fonction de l'impédance de charge**

06

# Conclusion



# Annexes

## Code python de la figure 4:

```
import numpy as np
import matplotlib.pyplot as plt

Pt_4g = 40 # puissance emise pour 4G
Gt_4g = 40 # gain émetteur 4G
Gr_4g = 1 # gain récepteur 4G
lambda_4g = 0.375 # Longueur d'onde 4G (800 MHz)

Pt_5g = 30 # puissance émise pour 5G
Gt_5g = 100 # gain émetteur 5G
Gr_5g = 1 # gain récepteur 5G
lambda_5g = 0.0857 # Longueur d'onde 5G (3.5 GHz)

d = np.linspace(10, 1000, 1000)

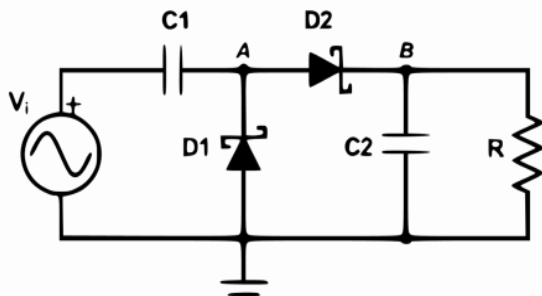
def friis(Pt, Gt, Gr, lambda, d):
    return Pt * Gt * Gr * (lambda / (4 * np.pi * d))**2

Pr_4g = friis(Pt_4g, Gt_4g, Gr_4g, lambda_4g, d) * 1e6
Pr_5g = friis(Pt_5g, Gt_5g, Gr_5g, lambda_5g, d) * 1e6

plt.figure(figsize=(10, 6))
plt.plot(d, Pr_4g, label="4G (800 MHz)", color='blue')
plt.plot(d, Pr_5g, label="5G (3.5 GHz)", color='green')
plt.yscale("log")
plt.xlabel("Distance (m)")
plt.ylabel("Puissance reçue (µW)")
plt.title("Puissance reçue par un telephone portable en fonction de la distance")
plt.grid(True, which="both", ls="--", lw=0.5)
plt.legend()
plt.tight_layout()
plt.show()
```

# Annexes

## Fonctionnement de circuit greinacher figure 6:



Etat	Caractérisation	Condition
Etat 1: diode 1 passante et diode 2 bloquante	<ul style="list-style-type: none"> <li>• <math>V_A = 0 \text{ V}</math></li> <li>• <math>i_2 = C \cdot \frac{dV_B}{dt} = 0</math></li> <li><math>\Rightarrow V_B = \text{constante}</math></li> </ul>	<ul style="list-style-type: none"> <li>• <math>i_1 &gt; 0</math></li> <li><math>\Rightarrow C \cdot \frac{d(V_A - V_e)}{dt} &lt; 0</math></li> <li><math>\Rightarrow \frac{dV_e}{dt} &lt; 0</math></li> </ul>
Etat 2: diode 1 bloquante et diode 2 passante	<ul style="list-style-type: none"> <li>• <math>V_A = V_B</math></li> <li>• <math>i_2 = C \cdot \frac{dV_B}{dt} = C \cdot \frac{d(V_e - V_A)}{dt}</math></li> <li><math>\Rightarrow \frac{dV_B}{dt} = \frac{1}{2} \cdot \frac{dV_e}{dt}</math></li> </ul>	<ul style="list-style-type: none"> <li>• <math>i_2 &gt; 0</math></li> <li><math>\Rightarrow \frac{dV_B}{dt} &gt; 0</math></li> <li><math>\Rightarrow \frac{dV_e}{dt} &gt; 0</math></li> </ul>
Etat 3: diode 1 bloquante et diode 2 bloquante	<ul style="list-style-type: none"> <li>• <math>i_1 = i_2 = 0</math></li> <li><math>\Rightarrow \frac{d(V_e - V_A)}{dt} = \frac{dV_B}{dt} = 0</math></li> </ul>	<ul style="list-style-type: none"> <li>• <math>V_A &gt; 0</math> et <math>V_B &lt; V_A</math></li> </ul>

## Code python de la figure 7:

```
import numpy as np
import matplotlib.pyplot as plt

f = 10e3 # fréquence en Hz
T = 1 / f
V0 = 5 # amplitude crête
N = 1000 # points
t = np.linspace(0, 4*T, N)
Ve = V0 * np.sin(2 * np.pi * f * t)
```

```
def redressement(Ve, seuil):
    Vs = []
    for v in Ve:
        if v >= seuil:
            Vs.append(v - seuil)
        else:
            Vs.append(0)
    return np.array(Vs)
```

```
Vs_ideale = redressement(Ve, seuil=0.0)
Vs_schottky = redressement(Ve, seuil=0.2)
Vs_standard = redressement(Ve, seuil=0.7)
```

```
plt.figure(figsize=(10, 6))
plt.plot(t * 1000, Ve, label="Tension d'entrée (AC)", color='gray', linestyle='--')
plt.plot(t * 1000, Vs_ideale, label="Diode idéale", color='blue')
plt.plot(t * 1000, [V0 for i in range(1000)], color='blue', linestyle='--')
plt.plot(t * 1000, Vs_schottky, label="Diode Schottky", color='green')
plt.plot(t * 1000, [V0-0.2 for i in range(1000)], color='green', linestyle='--')
plt.plot(t * 1000, Vs_standard, label="Diode standard", color='red')
plt.plot(t * 1000, [V0-0.7 for i in range(1000)], color='red', linestyle='--')

plt.text(0.405, V0, '5V', color='blue')
plt.text(0.405, V0-0.3, '4.8V', color='green')
plt.text(0.405, V0-0.7, '4.3V', color='red')

plt.title("Comparaison du comportement des diodes avec entrée sinusoïdale 5V, 10kHz")
plt.xlabel("Temps (ms)")
plt.ylabel("Tension de sortie (V)")
plt.grid(True)
plt.legend()
plt.tight_layout()
plt.show()
```

## Code python de la figure 10:

```
import numpy as np
import matplotlib.pyplot as plt

# Paramètres du signal
T = 2*10e-4      # durée totale (s)
f = 10e3         # fréquence (Hz)
V0 = 5          # amplitude
N = 1000        # nombre d'échantillons
pas = T / N
Temps = np.linspace(0, T, N+1)

# Signal d'entrée
Ve = [V0 * np.sin(2 * np.pi * f * t) for t in Temps]

V_A = [0]
V_B = [0]

# Fonctions de comportement des diodes
def etat1(V_A, V_B, t):
    V_B.append(V_B[t])
    V_A.append(0)

def etat2(V_A, V_B, Ve, t):
    V_B.append(V_B[t] + 0.5 * (Ve[t+1] - Ve[t]))
    V_A.append(V_B[t+1])

def etat3(V_A, V_B, Ve, t):
    V_B.append(V_B[t])
    V_A.append(V_A[t] + (Ve[t+1] - Ve[t]))
```

```
for t in range(len(Temps) - 1):
    if Ve[t+1] < Ve[t] and V_A[t] <= 0:
        etat1(V_A, V_B, t)
    elif Ve[t+1] > Ve[t] and V_A[t] >= V_B[t]:
        etat2(V_A, V_B, Ve, t)
    else:
        etat3(V_A, V_B, Ve, t)

plt.figure(figsize=(10, 5))
plt.plot(Temps, Ve, label='Ve (entrée)', color='green')
plt.plot(Temps, V_A, label='V_A', color='yellow')
plt.plot(Temps, V_B, label='V_B', color='blue')
plt.xlabel("Temps (s)")
plt.ylabel("Tension (V)")
plt.title("Simulation du circuit de Greinacher")
plt.legend()
plt.grid()
plt.show()
```

## Code python des figures 11 et 12:

```
import numpy as np
import matplotlib.pyplot as plt

# paramètres du signal
T = 8 * 10e-4      # durée totale (s)
f = 10e3           # fréquence (Hz)
V0 = 5            # amplitude du signal
N = 1000          # nombre d'échantillons
pas = T / N
Temps = np.linspace(0, T, N+1)

# signal d'entrée sinusoïdal
Ve = [V0 * np.sin(2 * np.pi * f * t) for t in Temps]

# tension de seuil de la diode
V_seuil = 0.2 # pour diode shcottonky et 0.7 pour diode standard

V_A = [0]
V_B = [0]

def etat1(V_A, V_B, t):
    V_B.append(V_B[t])
    V_A.append(0)
```

```
def etat2(V_A, V_B, Ve, t):
    dV = Ve[t+1] - Ve[t]
    if dV > V_seuil:
        V_B.append(V_B[t] + 0.5 * (dV - V_seuil))
        V_A.append(V_B[-1])
    else:
        V_B.append(V_B[t])
        V_A.append(V_A[t])

def etat3(V_A, V_B, Ve, t):
    dV = Ve[t+1] - Ve[t]
    V_B.append(V_B[t])
    V_A.append(V_A[t] + dV)

for t in range(len(Temps) - 1):
    if Ve[t+1] < Ve[t] and V_A[t] <= 0:
        etat1(V_A, V_B, t)
    elif Ve[t+1] > Ve[t] and V_A[t] >= V_B[t] + V_seuil:
        etat2(V_A, V_B, Ve, t)
    else:
        etat3(V_A, V_B, Ve, t)

plt.figure(figsize=(10, 5))
plt.plot(Temps, Ve, label='Ve (entrée)', color='green')
plt.plot(Temps, V_A, label='V_A', color='yellow')
plt.plot(Temps, V_B, label='V_B', color='blue')
plt.xlabel("Temps (s)")
plt.ylabel("Tension (V)")
plt.title("Simulation du circuit de Greinacher avec diode Schottky (Vd = 0.2 V)")
plt.legend()
plt.grid()
plt.tight_layout()
plt.show()
```

## Code python de la figure 13:

```
import numpy as np
import matplotlib.pyplot as plt

# Paramètres du signal
T = 8 * 10e-4      # durée totale (s)
f = 10e3           # fréquence (Hz)
V0 = 5             # amplitude du signal
N = 1000          # nombre d'échantillons
Temps = np.linspace(0, T, N+1)

# Signal d'entrée sinusoïdal
Ve = [V0 * np.sin(2 * np.pi * f * t) for t in Temps]

def simuler_greiner(V_seuil):
    V_A = [0]
    V_B = [0]

    def etat1(t):
        V_B.append(V_B[t])
        V_A.append(0)

    def etat2(t):
        dV = Ve[t+1] - Ve[t]
        if dV > V_seuil:
            V_B.append(V_B[t] + 0.5 * (dV - V_seuil))
            V_A.append(V_B[-1])
        else:
            V_B.append(V_B[t])
            V_A.append(V_A[t])
```

```
def etat3(t):
    dV = Ve[t+1] - Ve[t]
    V_B.append(V_B[t])
    V_A.append(V_A[t] + dV)

for t in range(len(Temps) - 1):
    if Ve[t+1] < Ve[t] and V_A[t] <= 0:
        etat1(t)
    elif Ve[t+1] > Ve[t] and V_A[t] >= V_B[t] + V_seuil:
        etat2(t)
    else:
        etat3(t)

return V_A, V_B

V_A1, V_B1 = simuler_greiner(0.7)
V_A2, V_B2 = simuler_greiner(1.8)

plt.figure(figsize=(10, 6))
plt.plot(Temps, Ve, label='Ve (entrée)', color='green')
plt.plot(Temps, V_B1, label='V_B theorique', color='blue')
plt.plot(Temps, V_B2, label='V_B experimentale', color='red')
plt.xlabel("Temps (s)")
plt.ylabel("Tension (V)")
plt.legend()
plt.grid()
plt.tight_layout()
plt.show()
```

## Code python de la figure 16:

```
import numpy as np
import matplotlib.pyplot as plt

def calculer_puissance(V0, Z_source, Z_charge):

    V_eff = V0 / np.sqrt(2) # tension efficace à partir de la crête
    I_eff = V_eff / (Z_source + Z_charge)
    P_charge = (I_eff**2) * Z_charge # puissance dissipée dans la charge
    return P_charge

V0 = 5.0
Z_source = 50 # impédance de la source

Z_charge_values = np.linspace(10, 100, 200) # impédances de charge à tester

puissance_values = []
for Z_charge in Z_charge_values:
    P = calculer_puissance(V0, Z_source, Z_charge)
    puissance_values.append(P)

max_p = max(puissance_values)
max_p_index = np.argmax(puissance_values)
Z_charge_max = Z_charge_values[max_p_index]
```

```
plt.figure(figsize=(10, 6))
plt.plot(Z_charge_values, puissance_values, linestyle='-', color='b', label='Puissance dans la charge')

plt.axvline(x=Z_source, linestyle='--', color='r', label=f'Z_source = {Z_source} ohm')

plt.title("Puissance transmise à la charge en fonction de Z_charge")
plt.xlabel('Z_charge (ohm)')
plt.ylabel('Puissance dissipée (W)')
plt.grid()
plt.legend()
plt.tight_layout()
plt.show()
```